

## ПОЛЯРИЗАЦИЯ ДОНОРНО-АКЦЕПТОРНОЙ ФОТОЛЮМИНЕСЦЕНЦИИ МОНОКРИСТАЛЛОВ $p\text{-CdSiAs}_2\langle\text{In}\rangle$

© В.Ю.Рудь<sup>†</sup>, Ю.В.Рудь, М.Сергинов

Физико-технический институт им. А.Ф. Иоффе Российской академии наук,  
194021 Санкт-Петербург, Россия

<sup>†</sup>Государственный технический университет,  
195251 Санкт-Петербург, Россия

(Получена 4 июля 1995 г. Принята к печати 10 июля 1995 г.)

Выполнены поляризационные исследования спектральных зависимостей стационарной фотолюминесценции однородно легированных монокристаллов  $p\text{-CdSiAs}_2\langle\text{In}\rangle$ . Обнаружена и обсуждается зависимость поляризационных параметров фотолюминесценции, обусловленной донорно-акцепторной рекомбинацией. Показано, что с ростом уровня накачки в спектрах ФЛ возникает и увеличивается поляризационное расщепление полос, степень линейной поляризации положительна и характеризуется нечувствительным к накачке спектральным контуром. Максимальная степень поляризации  $\approx 90\%$  при  $T = 80\text{ K}$  достигается в коротковолновой части полосы ДАР при плотностях накачки  $\approx 8 \cdot 10^{20} \text{ квант}/\text{см}^2 \cdot \text{с.}$

Изучение анизотропии излучательных переходов в кристаллах типа II-IV-V<sub>2</sub> с решеткой халькопирита, являющихся прямыми аналогами одноосно-деформированных полупроводников III-V, представляет интерес для формирования физических основ поляризационной оптоэлектроники. До сих пор поляризационные свойства фотолюминесценции (ФЛ) в полупроводниках II-IV-V<sub>2</sub> исследовались для переходов зона-зона и зона-уровень [1-3], тогда как часто проявляющиеся в таких кристаллах донорно-акцепторные переходы [4-5] оставались на этот счет практически не изученными. Как и в случае бинарных полупроводников, для донорно-акцепторных переходов в кристаллах II-IV-V<sub>2</sub> обнаруживается смещение полос фотолюминесценции в коротковолновую область спектра с ростом уровня накачки, а поляризационные свойства таких полос в литературе вообще не обсуждались [5,6]. В настоящей работе представлены результаты первых поляризационных исследований стационарной фотолюминесценции однородно легированных индием монокристаллов  $p\text{-CdSiAs}_2\langle\text{In}\rangle$  в зависимости от уровня накачки донорно-акцепторных переходов с участием дефектов решетки различной природы.

Монокристаллы  $p\text{-CdSiAs}_2$  выращивались стационарным методом кристаллизации из подпитываемых растворов с добавлением в шихту примеси в виде InAs [4]. Монокристаллы были электрически однородными и имели концентрацию свободных дырок  $p \simeq 10^{11} - 10^{12} \text{ см}^{-3}$  при  $T = 300 \text{ K}$ . Из монокристаллов изготавливались пластины с ориентациями (100) и (001) со средними размерами  $1 \times 5 \times 5 \text{ mm}$ , поверхность которых после механической шлифовки обрабатывалась вначале в полирующим травителе  $3\text{HNO}_3 : 1\text{HF} : 2\text{H}_2\text{O}$  при  $T = 300 \text{ K}$  и затем в деионизованной воде. Фотолюминесценция возбуждалась сильно поглощаемым в  $\text{CdSiAs}_2$  излучением аргонового лазера ( $\lambda_B = 488 \text{ nm}$ , уровень накачки  $L = 10^{18} - 10^{21} \text{ квант}/\text{см}^2 \cdot \text{с}$ ) и анализировалась с освещаемой поверхности вдоль нормали к ней. При сканировании поверхности пластины сфокусированным пучком (диаметр примерно 0.1 мм) в условиях фиксированной плотности возбуждающего излучения спектральный контур фотолюминесценции ( $\Phi\text{Л}$ ), интенсивность в максимуме полосы и поляризационные индикатрисы (зависимость интенсивности  $\Phi\text{Л}$  от азимутального угла  $\varphi$  между электрическим вектором световой волны  $\Phi\text{Л}$  и тетрагональной осью с монокристаллов  $\text{CdSiAs}_2(\text{In})$ ) оказались хорошо воспроизводимыми для каждой из исследованных пластин. Это указывает на высокую локальную однородность получаемых в процессе выращивания монокристаллов  $\text{CdSiAs}_2(\text{In})$ . Спектральное разрешение установки было не хуже 1 мэВ.

Спектральное распределение интенсивности  $\Phi\text{Л}$  для исследованных в данной работе кристаллов  $\text{CdSiAs}_2(\text{In})$ , полученное без анализа поляризации, в диапазоне 300–77 К, характеризуется наличием широкой (полная ширина полосы на полувысоте  $\delta_{1/2} \simeq 70 - 80 \text{ мэВ}$ ) полосы с максимумом в области 1.45–1.55 эВ ( $T = 77 \text{ K}$ ), энергетическое положение  $\hbar\omega_m$  которого смещается в длинноволновую область спектра с понижением  $L$ . Интенсивность этой полосы растет пропорционально  $L$ . Наблюдаемая зависимость  $\hbar\omega_m$  от  $L$ , а также от концентрации примеси In в  $\text{CdSiAs}_2$  позволяют отнести указанную полосу  $\Phi\text{Л}$  к донорно-акцепторной рекомбинации (ДАР).

Оказалось, что как и для переходов зона–зона и зона–уровень [1, 2], поляризационные индикатрисы  $\Phi\text{Л}$  вдоль направления [001] указывают на изотропный характер излучательных переходов, тогда как при отклонениях от этого направления они начинают следовать периодическому закону

$$I_\varphi = I^\parallel \cos^2 \varphi + I^\perp \sin^2 \varphi,$$

причем  $I^\parallel > I^\perp$  и положение максимумов  $I_\varphi$  соответствует случаю, когда проекция  $\mathbf{c}$  на плоскость пластины параллельна  $\mathbf{E}$ . Поляризационное отношение  $I^\parallel/I^\perp$  при постоянной энергии излучаемых фотонов достигает максимума при наблюдении  $\Phi\text{Л}$  от параллельных тетрагональной оси плоскостей, когда обеспечивается коллинеарность между  $\mathbf{c}$  и  $\mathbf{E}$ . Перечисленные закономерности позволяют считать, что анизотропия ДАР, как и излучательных переходов зона–зона и зона–уровень, задается естественной тетрагональной деформацией кристалла и поэтому находится в соответствии с одноосной симметрией кристаллического поля  $\text{CdSiAs}_2$ .

Типичные спектральные зависимости  $\Phi\text{Л}$  для экстремальных поляризаций  $\mathbf{E} \parallel \mathbf{c}$  и  $\mathbf{E} \perp \mathbf{c}$  при нескольких уровнях накачки  $L$  представлены на рис. 1. Из него следует, что с повышением  $L$  максимум

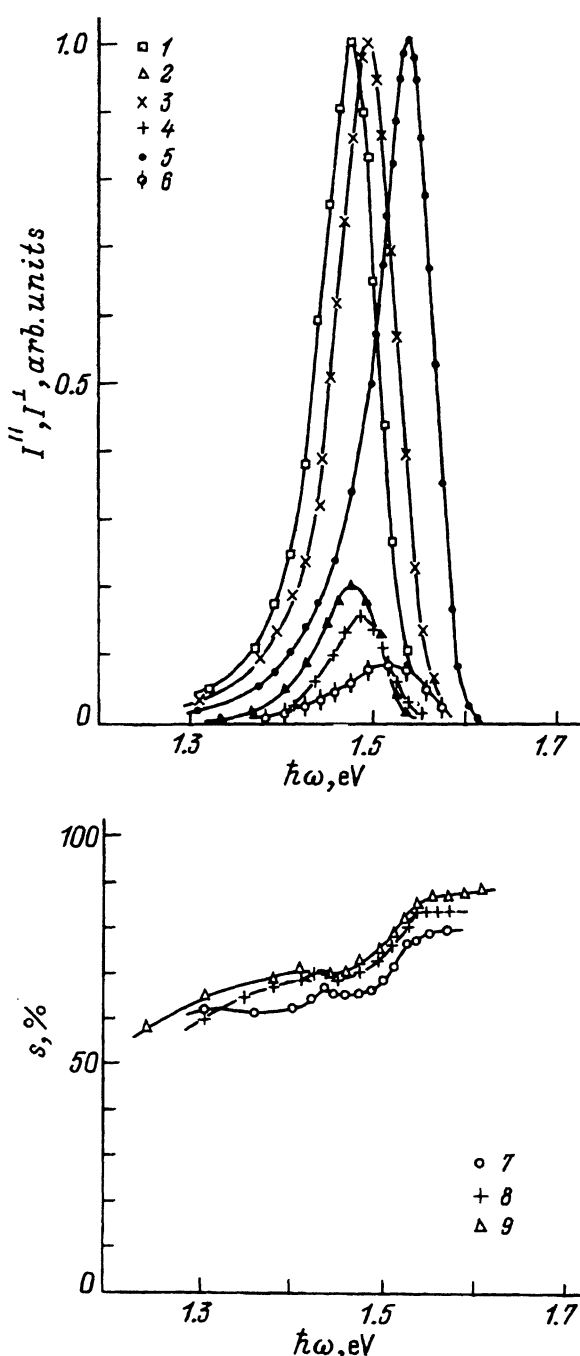


Рис. 1. Спектральные зависимости интенсивности (1-3 —  $E \parallel c$ , 4-6 —  $E \perp c$ ) и степени линейной поляризации (7-9) ФЛ монокристаллов  $p\text{-CdSiAs}_2\langle\text{In}\rangle$  при различных уровнях накачки  $L$ , квант/см $^2 \cdot$ с: 1, 4, 7 —  $8.8 \cdot 10^{18}$ ; 2, 5, 8 —  $8.8 \cdot 10^{19}$ ; 3, 6, 9 —  $6.5 \cdot 10^{20}$ .  $\lambda_B = 488$ . Спектральное разрешение — 0.5 мэВ.  $T = 80$  К.

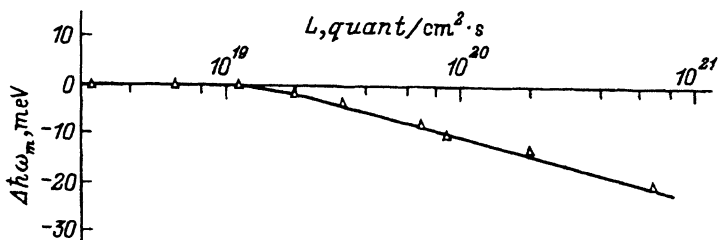


Рис. 2. Зависимость поляризационного расщепления полос ФЛ в монокристаллах  $p$ -CdSiAs<sub>2</sub>(In) от уровня накачки.  $T = 80$  К.  $\lambda_B = 488$  нм.

полосы для каждой из поляризаций излучаемого кристаллом света смещается в коротковолновую область спектра, причем вклад полосы с поляризацией  $E \perp$  с снижается. Поляризационное расщепление полос  $\Delta\hbar\omega_m = \hbar\omega_m^{\parallel} - \hbar\omega_m^{\perp}$  в зависимости от уровня накачки представлено на рис. 2. Видно, что в области низких плотностей накачки  $L \lesssim 10^{19}$  квант/см<sup>2</sup> · с поляризационное расщепление максимумов полос отсутствует, тогда как с ростом  $L \gtrsim 2 \cdot 10^{19}$  квант/см<sup>2</sup> · с спектры расщепляются, причем амплитуда  $\Delta\hbar\omega_m$  при этом возрастает. Обращает на себя внимание тот факт, что знак возникающего в области  $L > 2 \cdot 10^{19}$  квант/см<sup>2</sup> · с поляризационного расщепления полос ФЛ отрицательный. В области  $L \simeq 7 \cdot 10^{20}$  квант/см<sup>2</sup> · с поляризационное расщепление максимально по амплитуде и достигает -21 мэВ, что может быть обусловлено перераспределением фотогенерированных носителей между расщепленными подуровнями, что и вызывает понижение  $I^{\perp}$  относительно  $I^{\parallel}$  (рис. 1, кривые 1-6). Уместно отметить, что в случае переходов зона-зона и зона-уровень для CdSiAs<sub>2</sub>  $\Delta\hbar\omega_m \simeq 0$ , что объясняется сильным кристаллическим расщеплением валентной зоны и связанных с ней уровней [1,2]. Следовательно, в случае донорно-акцепторной рекомбинации изменения уровня накачки ФЛ позволяют управлять распределением дырок между расщепленными уровнями акцепторов, входящими в состав донорно-акцепторных пар.

Спектральные зависимости степени линейной поляризации ДАР  $s = \frac{I^{\parallel} - I^{\perp}}{I^{\parallel} + I^{\perp}}$  оказались практически нечувствительными к изменениям уровня накачки (рис. 1, кривые 7-9). Знак степени линейной поляризации ДАР CdSiAs<sub>2</sub>(In) во всей спектральной области оказывается положительным и соответствует правилам отбора для межзонных A-переходов [1]. Максимальное значение  $s$  достигается при  $\hbar\omega > 1.52$  эВ и насыщается на уровне, который определяется накачкой  $L$ . В области энергии фотонов ниже 1.5 эВ при всех исследованных значениях  $L$  наступает монотонный спад степени линейной поляризации ФЛ, который, начиная с  $\hbar\omega_m < 1.48$  эВ, прекращается, и  $s$  насыщается на уровне, который опять-таки связан с  $L$  (рис. 1, кривые 7-9). Согласно [9,10], подобная форма спектральных зависимостей  $s$  характерна для неэлементарных полос ФЛ, включающих не менее двух разнополяризованных составляющих. Сходный спектральный контур степени поляризации ДАР в кристаллах CdSiAs<sub>2</sub>(In) при разных уровнях накачки, по-видимому, обусловлен единой природой излучательных переходов между разноудаленными донорами и акцепторами. Увеличение  $L$  вы-

зывает рост вклада в ДАР близких пар, в результате чего и происходит рост степени линейной поляризации по мере смещения максимума ФЛ в коротковолновую спектральную область.

Таким образом, ДАР в анизотропных полупроводниках сохраняет известные закономерности этого механизма излучательных переходов в кубических полупроводниках (чувствительность энергетического положения максимума ФЛ к уровню накачки, концентрации центров и т. д. [7]) и обнаруживает новые (поляризационное расщепление полос и величина степени линейной поляризации контролируются уровнем накачки ФЛ, тогда как спектральный контур  $s$  практически не зависит от  $L$  и, по-видимому, определяется природой центров, образующих донорно-акцепторные пары).

### Список литературы

- [1] А. Мамедов, З.А. Паримбеков, Ю.В. Рудь, М. Сергинов. ФТП. **16**, 722 (1982).
- [2] Ю.В. Рудь. ФТП, **17**, 2208 (1983).
- [3] А. Мамедов, З.А. Паримбеков, Ю.В. Рудь. УФЖ, **29**, 282 (1984).
- [4] В.Ю. Рудь, Ю.В. Рудь, М. Сергинов. Изв. АН СССР. ЖНМ, **26**, 1596 (1990).
- [5] А. Мамедов, В.Ю. Рудь, Ю.В. Рудь, М. Сергинов. Изв. вузов. Физика, № 10, 78 (1991).
- [6] Ф.П. Кесаманлы, Ю.В. Рудь. ФТП, **27**, 1761 (1993).
- [7] Ж. Панков. *Оптические процессы в полупроводниках* (М., Мир, 1973).

Редактор В.В. Чалдышев

---